

УДК 537.591

А. Д. Філоненко

Східноукраїнський національний університет, Луганськ

## Определение прихода с помощью энергии космической лунного и частицы орбитального направления модуля

*Надійшла до редакції 13.02.01*

Знайдено практичний розв'язок задачі про напрямок осі каскадної зливи за допомогою двох навколоісичних модулів і системи трьох взаємно перпендикулярних диполів, встановлених на кожному з них. Цей розв'язок доповнює раніше опубліковані результати дослідження можливості визначення енергії електромагнітного каскаду за радіочастотним компонентом випромінювання  $\delta$ -електронів зливи. Отримані результати можуть відкрити нові можливості для дослідження космічних променів з енергією понад  $10^{21}$  еВ.

Известно, что успехи физики космических лучей очень высокой энергии ( $W_0 > 10^{19}$  эВ) связаны в основном с развитием традиционных методов детектирования. Однако верхняя энергетическая граница этих установок, по-видимому, не поднимется в ближайшем будущем выше  $10^{20}$ — $10^{21}$  эВ. Например, гигантский детектор известного проекта «Пьер Оже» будет иметь суммарную рабочую площадь обоих полушарий  $6000 \text{ км}^2$ . Это соответствует частоте событий 60 частиц в год для диапазона энергий  $W_0 > 10^{20}$  эВ. Имеющиеся на сегодня данные о потоке космических лучей для таких энергий свидетельствуют о незначительном изменении показателя энергетического спектра. С учетом этого факта частота событий для частиц с энергией  $W_0 > 10^{21}$  эВ составит для этой установки всего около одной частицы за год. Для получения надежной информации о космических лучах эту величину следует поднять хотя бы на один порядок. Сохранение прежней частоты регистрации (60 событий в год) для частиц с энергией  $W_0 > 10^{21}$  эВ потребует увеличения площади детектора почти на два порядка. Эти данные свидетельствуют о том, что детектор, основанный на традиционных принципах с площадью около  $10^6 \text{ км}^2$ , в настоящее время построить практически невозможно.

Однако, по нашему мнению, уже сейчас имеется другая возможность увеличить площадь детектора до  $10^7 \text{ км}^2$ . Имеется в виду метод радиодетектирования. Характеристики поля излучения, вызванного  $\delta$ -электронами каскадного ливня в газообразной или конденсированной среде, могут вполне обеспечить его реализацию [1, 2, 4]. Особенно перспективной представляется такая возможность для радиоастрономического метода [7, 8], а также для детектирования частиц высокой энергии с лунной орбиты [3, 6].

В методе радиодетектирования имеется одно существенное обстоятельство. Ни в одной из опубликованных работ по этому направлению вплоть до настоящего момента не было ни единой попытки указать на возможность определения направления прихода космической частицы с помощью антенн радиодетектора. В нашей работе показано, что такая возможность есть. Она особенно легко реализуема, если каскадный ливень распространяется в конденсированной непроводящей электрический ток среде. В этом случае можно не только определить направление прихода частицы, но и с достаточной для практических целей точностью найти ее энергию. Доказательство этих фактов, вместе с ранее опубликованными результатами исследования ме-

ханизма радиоэмиссии  $\delta$ -электронов каскадного ливня в области длин волн  $\lambda > L$  (где  $L$  — продольный размер ливня), ставит на принципиально новую основу метод радиодетектирования космических лучей сверхвысокой энергии ( $W_0 > 10^{21}$  эВ).

Определение направления оси каскадного ливня осуществляется с помощью трех взаимно перпендикулярных вибраторов. Известно, что пространственная диаграмма излучения изолированного вибратора длиной  $2a$  определяется выражением

$$F(\alpha) = \frac{\cos(m\alpha \cos\alpha) - \cos ma}{(1 - \cos ma)\sin\alpha}, \quad (1)$$

где  $m = 2\pi/\lambda$ ,  $\alpha$  — угол между осью диполя и направлением наблюдения  $\mathbf{n}$  [5]. Обычно в качестве простых антенн (и как элементы более сложных) используются полуволновые вибраторы. Однако в реальной конструкции детектора на орбите искусственного спутника Луны [3, 6] применение полуволнового вибратора ( $a = \lambda/4$ ) длиной около  $2a = 5m$  ( $v = 30$  МГц) может вызвать определенные технические трудности. В таких случаях используют укороченные вибраторы, в цепь которых включают последовательно индуктивности для сохранения резонансной частоты. Легко убедиться, что выражение (1) с достаточной точностью можно заменить простейшей функцией  $F_1(\alpha) = \sin\alpha$ . Например, при укорочении полуволнового вибратора в два раза ( $a = \lambda/8$ ) отличие между этими диаграммами не превышает 2 %. Поэтому будем использовать далее нормированную функцию  $F_1(\alpha) = \sin\alpha$  в качестве пространственной диаграммы направленности приемной антенны детектора. Как будет видно далее, это требование не является принципиальным. Кроме этого, согласно [1, 2, 4] будем учитывать, что пространственная диаграмма излучения ливня в диапазоне длин волн  $\lambda > L$  приблизительно выражается также с помощью функции  $F_1(\alpha)$ , т. е. напряженность поля излучения в произвольной точке равна  $E = E_0 \sin\alpha$ , где  $\alpha$  — угол между направлением излучения  $\mathbf{n}$  и осью каскада. Кроме этого известно, что вектор напряженности  $\mathbf{E}$  лежит в плоскости, составленной осью ливня (или диполя) и направлением наблюдения. В дальней зоне вектор  $\mathbf{E}$  всегда перпендикулярен к  $\mathbf{n}$ .

Для определения направления оси каскадного ливня, а следовательно и направления прибытия космической частицы, на орбите Луны должны находиться два модуля, каждый из которых должен иметь три одинаковых взаимно перпендикулярных вибратора, усилители сигналов и измерители амплитуды э.д.с., наводимых в каждой антенне, а также комплекс приборов для определения положе-

ние модуля относительно системы координат, связанной с Луной. Модули должны находиться на расстоянии прямой видимости, и для уменьшения ошибки измерений быть не слишком близко один от другого. Например, если радиус орбиты модуля порядка  $2R_m$ , то расстояние между модулями может составлять  $(0.5 \div 1)R_m$ .

Каскадный ливень в грунте Луны, вызванный прохождением заряженной частицы сверхвысокой энергии, наведет э.д.с.  $u_{1x}$ ,  $u_{1y}$ ,  $u_{1z}$  и  $u_{2x}$ ,  $u_{2y}$ ,  $u_{2z}$  на клеммах соответствующих антенн первого и второго модулей. Очевидно (см. [5]), она может быть выражена через величину напряженности поля  $E$  и направляющие косинусы углов  $\varphi$ ,  $\xi$ ,  $\eta$ . Это дает систему из восьми уравнений для определения направляющих косинусов векторов  $\mathbf{E}_1$  и  $\mathbf{E}_2$  в системе координат каждого из модулей:

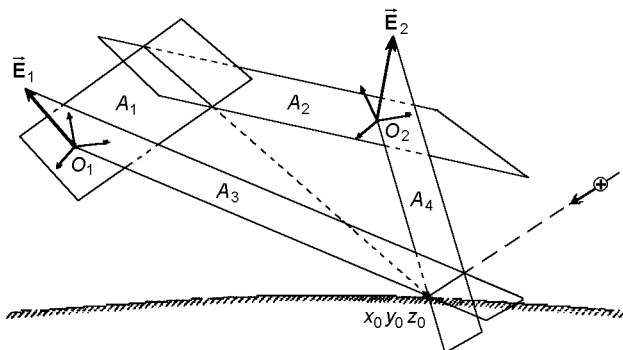
$$\begin{aligned} u_{1x} &= \frac{lE_i}{R_i} \sin\alpha_i \cos\varphi_i, \\ u_{1y} &= \frac{lE_i}{R_i} \sin\alpha_i \cos\xi_i, \\ u_{1z} &= \frac{lE_i}{R_i} \sin\alpha_i \cos\eta_i \\ \cos^2\varphi_i + \cos^2\xi_i + \cos^2\eta_i &= 1, \quad i = 1, 2, \end{aligned} \quad (2)$$

где  $l$  — эффективная длина антенны,  $i$  — номер модуля,  $R_i$  — расстояние от модуля с номером  $i$  до ливня,  $\alpha_i$  — угол между направлением оси ливня и вектором  $\mathbf{R}_i$ .

Рассмотрим прямую, определяемую пересечением плоскостей  $A_1$  и  $A_2$ , проведенных через начало координат каждого модуля. Направляющим вектором для каждой плоскости выберем соответственно  $\mathbf{E}_1$  и  $\mathbf{E}_2$ , составляющие которых пропорциональны э.д.с., наводимой в соответствующих антennaх:

$$\begin{aligned} u_{1x}x' + u_{1y}y' + u_{1z}z' &= 0, \\ u_{2x}x'' + u_{2y}y'' + u_{2z}z'' &= 0. \end{aligned} \quad (3)$$

Если источник поместить в произвольной точке прямой (3) то направление излучения  $\mathbf{n}_1$  и  $\mathbf{n}_2$  на каждый из модулей будет перпендикулярно к  $\mathbf{E}_1$  и  $\mathbf{E}_2$  соответственно для произвольно выбранных углов  $\alpha$ . Другими словами, каскадный ливень (как точка) для данного набора величин  $u_{1x}$ ,  $u_{1y}$ ,  $u_{1z}$  и  $u_{2x}$ ,  $u_{2y}$ ,  $u_{2z}$  может находиться только на прямой (3). Известно, что каскадный ливень будет всегда находиться на поверхности Луны. Поэтому пересечение (3) со сферой  $x^2 + y^2 + z^2 = R_m^2$ , где  $R_m$  — радиус



Определение положения оси каскадного ливня

Луны, однозначно определяет его координаты  $x_0$ ,  $y_0$ ,  $z_0$  (см. рисунок).

Согласно сказанному выше, ось ливня должна лежать одновременно в плоскости векторов  $\mathbf{R}_1$ ,  $\mathbf{E}_1$  и  $\mathbf{R}_2$ ,  $\mathbf{E}_2$ . Чтобы найти ее направление, необходимо провести две плоскости; плоскость  $A_3$  через начало координат  $O_1(x_1, y_1, z_1)$  первого модуля, точку  $x_0$ ,  $y_0$ ,  $z_0$  и направление  $\mathbf{E}_1$  и плоскость  $A_4$  через начало координат  $O_2(x_2, y_2, z_2)$  второго модуля, точку  $x_0$ ,  $y_0$ ,  $z_0$  и направление  $\mathbf{E}_2$ :

$$\begin{vmatrix} x - x_1 & y - y_1 & z - z_1 \\ x_1 - x_0 & y_1 - y_0 & z_1 - z_0 \\ E_{1x} & E_{1y} & E_{1z} \end{vmatrix} = 0, \quad (4)$$

$$\begin{vmatrix} x - x_2 & y - y_2 & z - z_2 \\ x_2 - x_0 & y_2 - y_0 & z_2 - z_0 \\ E_{2x} & E_{2y} & E_{2z} \end{vmatrix} = 0.$$

Прямая (4), определяемая пересечением этих плоскостей, и есть направление оси каскадного ливня.

Такая методика расчета направления движения космической частицы позволяет найти количество  $N_0$  электронов в максимуме каскадного ливня (а следовательно, и его энергию). Согласно [1, 2, 4] амплитуда напряженности поля радиоимпульса равна  $E = BN_0\sin\alpha/R$ , где величина  $B$  известна и зависит только от физических констант. Поэтому определение направляющих косинусов из (3), а также отношения  $\sin\alpha/R$  согласно описываемой здесь методике однозначно решает вопрос о количестве  $N_0$  электронов в ливне и о энергии  $W_0$

космической частицы. К схеме определения направления движения космической частицы нужно добавить следующее. Уравнения (2) для  $i = 1, 2$  определяют координаты  $E'_{ix}$ ,  $E'_{iy}$  и  $E'_{iz}$  вектора  $\mathbf{E}_i$  в системе первого ( $i = 1$ ) или второго ( $i = 2$ ) модулей. Для решения уравнений (3), (4) необходимо выразить проекции  $E'_{ix}$ ,  $E'_{iy}$  и  $E'_{iz}$  через соответствующие проекции  $E_{ix}$ ,  $E_{iy}$  и  $E_{iz}$  этих векторов в системе координат, связанной с Луной. Это можно сделать с помощью матрицы преобразований векторов при повороте декартовой системы координат. Ее компоненты в любой момент могут быть получены системой определения ориентации модулей, и эта операция давно решена технически.

1. Голубничий П. И., Филоненко А. Д. Радиоизлучение в диапазоне средних и низких частот, вызванное широким атмосферным ливнем // Письма в ЖТФ.—1994.—20, № 12.—С. 57—61.
2. Голубничий П. И., Филоненко А. Д. Когерентное низкочастотное излучение, вызванное  $\delta$ -электронами широких атмосферных ливней // Укр. физ. журн.—1996.—41, № 7-8.—С. 696—699.
3. Голубничий П. И., Филоненко А. Д. Детектирование космических лучей супервысоких энергий с помощью искусственного спутника Луны // Космічна наука і технологія.—1999.—5, № 4.—С. 87—92.
4. Голубничий П. И., Филоненко А. Д., Яковлев В. И. Низкочастотное радиоизлучение ШАЛ и возможность его использования в методе радиодетектирования // Изв. РАН. Сер. физ.—1994.—58, № 12.—С. 115—118.
5. Пистолькорс А. А. Антенны. — М.: Связьиздат, 1947.—479 с.
6. Филоненко А. Д. Перспективы детектирования космических лучей супервысоких энергий // Письма в ЖТФ.—1997.—23, № 10.—С. 57—62.
7. Филоненко А. Д. Детектирование космических лучей с первоначальной энергией  $10^{22}$ — $10^{23}$  эВ с помощью радиотелескопа // Изв. РАН. Сер. физ.—1997.—61, № 3.—С. 543—546.
8. Филоненко А. Д. Регистрация космических лучей очень высокой энергии декаметровым радиотелескопом УТР-2 // Письма в ЖЭТФ.—1999.—70, № 10.—С. 639—641.

#### DEFINING ENERGY AND DIRECTION OF ARRIVAL OF COSMIC PARTICLE WITH THE HELP OF THE MOON'S SATELLITE

A. D. Filonenko

A practical solution of the problem of direction of the axis of a cascade shower within the Moon's soil with a help of two lunar satellites, each having a crossed antenna, has been found. This solution is a development of already published results of research into possibility of defining energy of electromagnetic shower by radio-frequency emission of  $\delta$ -electrons of the shower.